



ОЦЕНКА КОРРОЗИОННЫХ ПОРАЖЕНИЙ КОЛОНН РЕКТИФИКАЦИИ И СЕРООЧИСТКИ УГЛЕВОДОРОДНЫХ ГАЗОВ

М. Д. РАБКИНА

Приведены систематические результаты технического диагностирования колонн ректификации и сероочистки углеводородных газов. Физико-механические исследования металла демонтированных обечаек позволили уточнить наиболее уязвимые места, подверженные коррозионному поражению, и установить вызывающие их причины.

The paper gives systematic results of technical diagnostics of columns for rectification and sulphur-refinement of hydrocarbon gases. Physico-mechanical studies of the metal of dismantled shells enabled more precise determination of the most vulnerable locations, prone to corrosion attack, and establishing their causes.

Состояние вопроса и возникающие проблемы. Для современных нефтеперерабатывающих заводов (НПЗ) независимо от срока эксплуатации и производственной мощности, объема и номенклатуры выпускаемых продуктов, количества и назначения установок с комплексом разнообразных процессов характерны две отличительные особенности:

в целом весь технологический процесс переработки нефти можно представить в виде схемы, показанной на рис. 1;

статистика причин разрушений и эксплуатационных отказов сосудов и аппаратов на этих заводах согласно [1] имеет следующие значения, %: дефекты материалов — 12...15; дефекты изготавления — 20...25; ошибки конструктивные, эксплуатационные — 18...20; эксплуатационный износ — 35...40.

Производство нефтепродуктов в Украине сосредоточено на шести НПЗ общей мощностью более 50 млн т в год [2, 3]. Объемы поставок и соответственно переработки нефти имеют тенденцию к увеличению, что, с одной стороны, способствует развитию национальной экономики, а, с другой, — приводит к естественному эксплуатационному износу нефтеперерабатывающего оборудования, срок действия которого не ограничен. Исходя из этого, возникает необходимость обобщения характерных повреждений оборудования при различных технологических процессах. В данной статье приведены некоторые результаты таких исследований.

Общие сведения. На современных заводах, располагающих комплексом разнообразных процессов (рис. 1), почти все установки первичной и деструктивной переработки нефти производят

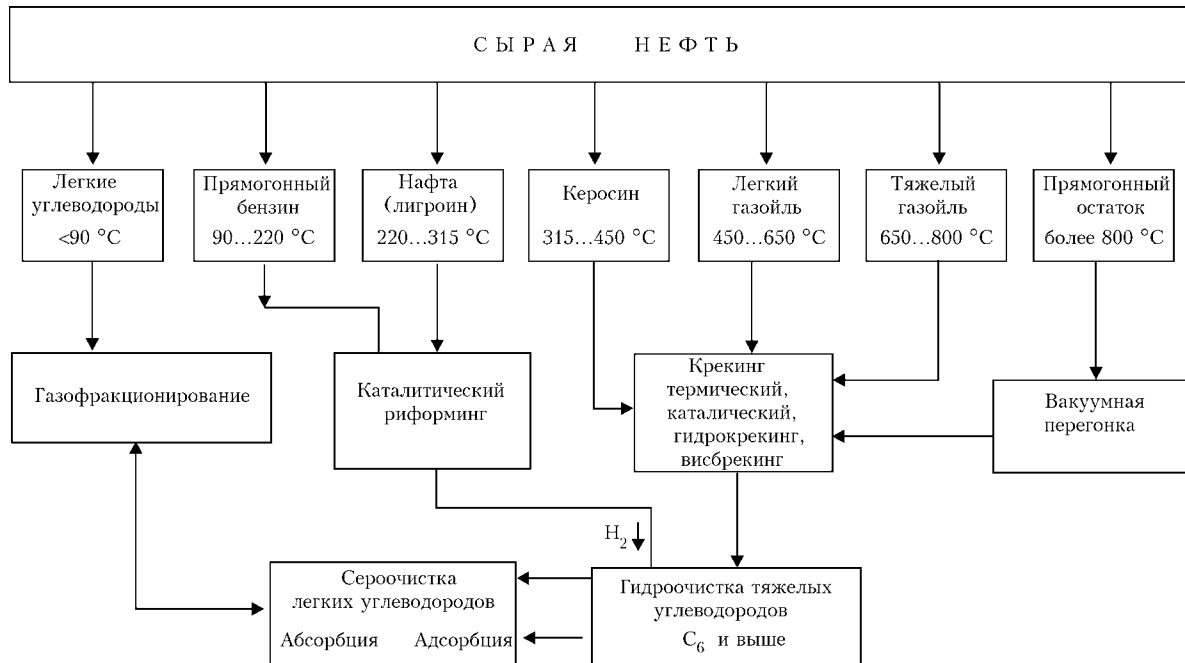


Рис. 1. Принципиальная схема современного технологического процесса переработки нефти

© М. Д. Рабкина, 2005



в определенном количестве смеси легких углеводородных газов, которые в дальнейшем поступают на газофракционирующие установки (ГФУ). При газофракционировании (ректификации) получают отдельные углеводородные фракции, служащие, в свою очередь, сырьем для нефтехимической и химической промышленности. Процесс ректификации газов состоит из основных стандартных операций: сжатия, разделения фаз, абсорбции, депропанизации (отделения пропана), дебутанизации (отделения бутана) и деизобутанизации (отделения изобутана). Разделение газов на компоненты представляет собой значительно более трудную задачу, чем разделение сырой нефти, поскольку каждый из этих газов является индивидуальным соединением и имеет свою температуру кипения [4]. Например, пропан и бутан легко отделяются от нефти, так как резко отличаются от нее по температурам кипения в широком диапазоне давлений. Поскольку точки кипения н-бутана и изобутана очень близки, то для эффективного отделения изобутана требуется большое количество тарелок — деизобутанизатор обычно самая высокая колонна на ГФУ. Независимо от последовательности получения фракций в наибольшей степени коррозионному разрушению подвержены пропановые аппараты из углеродистых и низколегированных сталей [5–7]. Этот вид разрушения обусловлен водородным расслоением и сероводородным растрескиванием стали. Считается, что очистка сырья от сероводорода до концентраций, соответствующих парциальному давлению H_2S в газовой фазе менее 0,001 атм, является эффективным методом защиты от водородного разрушения металла газофракционирующих установок [8]. Другим методом защиты является изготовление пропановых аппаратов из биметалла углеродистая сталь+сталь 0Х13. Однако, сталь 0Х13 не подвергается наводороживанию и водородному разрушению металла в сероводородных растворах только при $pH \geq 6$. [9]. Условия эксплуатации остальных (не подверженных водородному разрушению металла) элементов оборудования ГФУ допускают их изготовление из прочных и хладостойких углеродистых или низколегированных сталей.

Непосредственно с процессом газофракционирования связана очистка и осушка — *сероочистка сухих газов*. Необходимость в глубокой очистке газа от сернистых соединений определяется тем обстоятельством, что в большинстве своем сырье нефти содержат не менее 2,5 мас. % серы, т. е. являются сернистыми. Известны более 30 видов серы [10], однако считается, что в нефтях она находится, в основном, в виде сероводорода H_2S и меркаптанов $R-SH$. Кроме того, ряд процессов в заводских технологических схемах сопровождаются выделением газов, содержащих значительные количества сероводорода. Такие газы подвергаются очистке с целью дальнейшего их использования, а также извлечения сероводорода — сырья для получения серы и серной кислоты. Известные методы очистки газов подразделяются на две основные группы: адсорбционную (сухую) и абсорбционную (мокрую). В нефтеперерабатывающей

промышленности нашли применение в основном методы очистки второй группы — растворами этаноламинов.

Этаноламины обладают щелочными свойствами и хорошо поглощают кислые газы. Для извлечения сероводорода из нефтезаводских газов применяютmono-($C_2H_5ONH_2$), ди-($C_2H_5O_2NH$) и три-($C_2H_6O_3N$) этаноламины [5]. Чаще всего используют monoэтаноламин (МЭА), так как он дешевле других, имеет высокую реакционную способность, стабилен, а загрязненные растворы моноэтаноламина легко регенерируются. Концентрация растворов МЭА, используемых для очистки газа, изменяется в широких пределах. Обычно применяются 15...20 % растворы. Моноэтаноламин обладает одним существенным недостатком: он вступает в соединение с сероокисью углерода, часто содержащейся в газе, образуя нерегенерируемые соединения. Поэтому для очистки таких газов используются в качестве поглотителей вторичные и третичные этаноламины.

Принципиальная технологическая схема очистки газа заключается в следующем. Газ на очистку поступает в нижнюю часть абсорбера, в котором он орошаются раствором МЭА, свободным от сероводорода. Очищенный газ уходит с верха абсорбера. Поглотитель, насыщенный сероводородом, выходит снизу абсорбера и после предварительного нагрева в теплообменниках поступает на регенерацию в десорбера. В десорбере поглотитель освобождается от сероводорода. Регенерированный раствор МЭА из десорбера через теплообменник и холодильник подается в верхнюю часть абсорбера. Опыт эксплуатации установок очистки углеводородных газов от сероводорода МЭА показывает, что коррозия оборудования, выполненного из углеродистой стали носит более не менее равномерный характер и в значительной степени определяется технологическими факторами, к которым относятся: присутствие продуктов окисления в растворе; степень окисления раствора кислородом; содержание сероводорода в насыщенном растворе; концентрация раствора; температура регенерации раствора.

Результаты технического обследования и их обсуждение. Техническое обследование колонн ГФУ (табл. 1, 2) в течение последних 6...7 лет, основные данные которого приведены в табл. 3, показало, что:

интенсивному коррозионному растрескиванию подвержены, прежде всего, верхние части пропановых аппаратов из двухслойных сталей;

области поражения сосредоточены на внутренней поверхности колонн, преимущественно в районах вводов орошающей жидкости, продуктов и пара из ребайлера. Соответственно, наибольшему коррозионному растрескиванию подвержены в первую очередь район ввода орошения — верхнее днище и верхние обечайки; затем — район ввода пара из ребайлера — две нижние обечайки, граничащие с нижним днищем и, наконец, районы вводов продуктов, отвечающие соответствующим серединным обечайкам;



Таблица 1. Характеристика колонн и параметры процесса газофракционирования углеводородов

Характеристика колонн					Стандартные параметры процесса			
Номер объекта	Внутренний диаметр, мм	Толщина стенки, мм	Объем, м ³	Марка стали	Вид	Температура, °C		Давление, МПа
						верх	низа	
1	2000	22	86,0	Сталь 3 + 0Х13	ДП*	35...75	90...140	1,2...1,8
2	1600	18	57,0	Сталь 3 + 0Х13				
3	1600	18	48,2	Аналог 16ГС				
4	2400	20	157,4	Сталь 20К	ДБ**	45...65	100...150	0,5...0,75
5	2000	14	146,0	ВСт3	ДИЗБ***	50...60	65...75	0,75

Примечание. ДП* – депропанизация; ДБ** – дебутанизация; ДИЗБ*** – дизобутанизация.

Таблица 2. Типичный состав рабочей среды в ряде колонн ГФУ

Объект	Соединение				
	Углеводороды		Брутто-формула	Температура кипения*, °C	Плотность**, г/см ³
1	Верх	Пропан	C ₃ H ₈	-42,0	0,50
	Низ	Нижний остаток	–	–	–
2	Верх	Пропан-пропиленовая функция	C ₃ H ₈ C ₃ H ₆	-42,0 -48,0	0,50 0,52
	Низ	Бутан-пропиленовая*** + + пентан амиленовая функция	C ₄ H ₁₀ C ₅ H ₈ C ₄ H ₈ C ₄ H ₈ C ₅ H ₁₂	-0,5 -6,1 +1,1 3,9 +9,5 +28,0 +36,2	0,58 0,60 0,61 0,63
3	Верх	Изобутан	C ₄ H ₁₀	-11,7	0,56
	Низ	Нормальный бутан	C ₄ H ₁₀	-0,5	0,58

Примечания. * – при атмосферном давлении; ** – при атмосферном давлении и 15,5 °C; *** – три различных и-бутилена имеют одинаковую формулу C₄H₈, но разные структуры и свойства.

коррозионное поражение, в основном, охватывает плакирующий слой в околошовных зонах и сварные соединения.

Анализ технологического процесса и результаты лабораторных исследований на пробах металла из пораженных участков демонтированных объектов [7] позволили заключить следующее. Коррозионное растрескивание и межкристаллит-

ная коррозия двухслойных сталей (табл. 1) связаны прежде всего с эксплуатационным износом плакирующего слоя в сочетании с высоким содержанием сернистых соединений в присутствии водной фазы: от 0,5 % в районе ввода пара из ребайлера до 6 % в районе ввода орошения.

Макро- и микроисследования структуры шлифов сварных соединений показали, что трещины зарождаются и развиваются в узком слое зоны перемешивания аустенитного наплавленного металла с низкоуглеродистой сталью (рис. 2). При этом в районе трещины наблюдаются повышенные (до 40 %) по сравнению с остальным аустенитным слоем, значения твердости.

Таким образом, возникновение локальных участков разнородных сталей предопределяет в первую очередь пониженную трещиностойкость сварного соединения. Кроме того, отрицательное влияние на трещиностойкость конструкции оказывают также параметры технологического процесса в верхних частях рассматриваемых объектов (табл. 1), поскольку в соответствии с расчетами температура хрупко-вязкого перехода материала после длительного срока эксплуатации не превышает в данном случае 50 °C.

Исходя из изложенного выше, были рекомендованы и своевременно реализованы следующие мероприятия:

демонтирован и полностью заменен объект № 1; заменена ремонтной вставкой с последующей местной термической обработкой поврежденная зона объекта № 2 в районе ввода пара из ребайлера;

изменена конструкция ввода пара из ребайлера для снижения интенсивности прямого воздействия струи на стенку корпуса.

Техническое обследование абсорбера сероочистки сухих газов (характеристика объекта № 6: внутренний диаметр – 2200 мм; толщина стенки – 12 мм; марка стали 20К; давление – 0,7 МПа; объем – 13,2 м³; температура – +(35...40) °C; термообработка не проводилась; сварка автоматическая и ручная электродуговая – Св-08ГА по ГОСТ 2247-70). Ориентировочный состав рабочей среды, %: H₂S – 5,9; CO₂ – 0,8; CH₄ – 43,6; H₂ – 24,6; C₂ – 25,0,

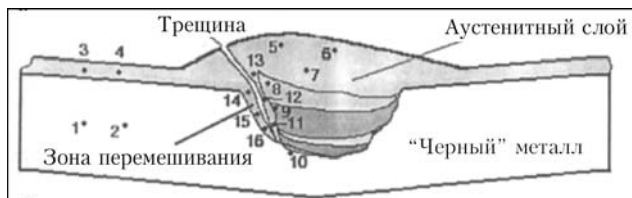


Рис. 2. Схематическое изображение в плакирующем слое сварного соединения пропановой колонны

Значения твердости в соответствующих точках рис. 2

Номер точки	1	2	3	4	5	6	7	8
HRA	42,5	44,0	51,5	51,6	53,5	54,4	57,0	68,0
Номер точки	9	10	11	12	13	14	15	16
HRA	65,0	47,5	65,0	66,5	71,5	71,0	70,0	52



ТЕХНИЧЕСКАЯ ДИАГНОСТИКА

Таблица 3. Наиболее опасные дефекты, обнаруженные при обследовании пропановых колонн ГФУ со стороны внутренней поверхности

Срок эксплуатации, лет	Объект	Область коррозионного поражения
Район ввода орошения — верхнее днище с прилегающей обечайкой корпуса		
30	1	Продольные трещины различной длины в диаметральном сварном шве от 50 до 150 мм
		Сетка поперечных трещин в плакирующем слое по всей длине кольцевого сварного шва
		Трещины, выходящие из кольцевого сварного шва, некоторые достигают длины 20 мм
		Отдельно расположенные непровары, шлаковые включения, поры в кольцевом шве
33	2	Питтинговая коррозия на стенке обечайки глубиной до 2...2,5 мм
		Участки ножевой коррозии по линии сплавления штуцера с днищем
		Продольная трещина в диаметральном сварном шве на пересечении с кольцевым длиной 250 мм и глубиной до 10 мм
		Многочисленные поперечные (длиной до 40 мм) и продольные (длиной до 300 мм) трещины глубиной 2...4 мм в ОШЗ кольцевого сварного соединения
		Язвенная коррозия в виде «бороздок» глубиной 1...3 мм по всей длине кольцевого сварного соединения на расстоянии 1...4 мм от линии сплавления
		Коррозионные повреждения сварного соединения люка-лаза
35	2	Участки с продольными (до 700 мм) и поперечными трещинами в плакирующем слое верхнего днища и ОШЗ кольцевого сварного соединения
Район ввода продуктов нефтепереработки		
30	1	Трещины в продольных сварных швах, длиной от 100 до 300 мм
		Поперечная трещина в валике усиления продольного сварного шва длиной 100 мм
33	2	Мелкие поры, выходящие на поверхность
		Скопление пор на участке кольцевого сварного шва между продольными сварными соединениями
33	2	Язвенная коррозия глубиной до 1 мм, протяженностью — 200...300 мм
		Множественные несплошности суммарной протяженностью — 500 мм; глубиной залегания — 10...15 мм; размером по высоте — до 5 мм
Район ввода пара из ребайлера — нижние обечайки и нижнее днище		
30	1	Зона поражения округлой формы с толщиной слоя прокорродированного металла до 10 мм напротив ввода пара
		Зона интенсивного коррозионного растрескивания с выходом расслоений в зону сварного соединения рядом с вводом пара
		Дефекты в кольцевом сварном соединении нижнего днища с обечайкой — суммарной протяженностью 2500 мм и глубиной залегания 8...12 мм
		Трещины длиной от 10 до 60 мм при пересечении продольных и кольцевых сварных швов
		Сетка поперечных трещин с размерами до 25 мм в плакирующем слое нижнего днища по всей длине кольцевого сварного соединения

водный раствор МЭА — 15,0), основные результаты которого приведены в табл. 4, показало, что наибольшее скопление дефектов сосредоточено в районе ввода раствора МЭА в верхних обечайках, подлежащих замене. Согласно рекомендациям (табл. 4), из наиболее поврежденного коррозионным растрескиванием участка демонтированных обечаек были вырезаны темплеты для проведения лабораторных физико-механических исследований.

Прежде всего следует отметить, что температура хрупко-вязкого перехода, полученная на образцах Шарпи «сместилась», по сравнению со стандартными свойствами стали 20К в сторону положительных температур. Это характеризует проявление склонности исследуемого металла к развитию хрупких разрушений уже в диапазоне 0...+20 °C и даже выше. Химический состав основного металла сохраняется на уровне состава стали 20К (ГОСТ 5520-79), хотя в металле шва количество углерода и особенно кремния намного превосходит содержание указанных элементов в проволоке (табл. 5, 6).

Что касается микроструктуры, то по всей толщине стенки абсорбера в основном металле наблюдается ферритно-перлитная смесь с баллом зерна № 8 по ГОСТ 5639-82 (Приложение № 2, шкала № 1), а в сварном шве — ферритно-перлитно-бейнитная смесь. Со стороны обеих поверхностей видимых изменений микроструктуры не обнаружено.

Особое внимание обращает на себя вид неметаллических включений (рис. 3). Кроме традиционных точечных и строчечных, обнаружены крупные вытянутые неоднородные включения длиной от 20 до 250 мкм, шириной от 1 до 15 мкм и твердостью HV 0,01-515, соответствующей весьма хрупким материалам. Поскольку содержание серы в этих включениях не превышает 0,53 %, их нельзя отнести к сульфидам. Микрорентгеноспектральным анализом показано, что они состоят из ряда оксидов (табл. 7, 8). При этом их вклад в объемную долю всех включений достаточно высок (табл. 9). Следует отметить, что межфазные поверхности полиоксидов представляют собой мик-

ТЕХНИЧЕСКАЯ ДИАГНОСТИКА



Таблица 4. Развитие коррозионных повреждений в корпусе абсорбера сероочистки сухих газов

Срок эксплуатации, лет	Типичные дефекты	Рекомендации
22	Основное скопление несплошностей со стороны внутренней поверхности в верхних обечайках, особенно в районе ввода раствора МЭА; толщина поврежденного слоя ~6 мм Коррозионное растрескивание основного металла на ранней стадии развития Дефекты объемной формы с относительно невысокой плотностью распределения, ориентированный под небольшими углами к поверхности Небольшие скопления пор в сварных соединениях люков-лазов и подрезы со следами коррозии Отдельные неглубокие язвы в нижней части сосуда	Изменить конструкцию ввода раствора МЭА таким образом, чтобы поступающий продукт равномерно распределялся по сечению объекта
24	Появление микротрешин носит обширный характер и наблюдается по всей толщине стенки корпуса, что впоследствии может привести к образованию макроскопических дефектов Стадия объединения обособленных несплошностей в слои в верхних обечайках Язвенная коррозия глубиной 1...2 мм по всему корпусу Коррозионные раковины в сварных соединениях люков-лазов с соответствующими обечайками	Заменить две верхние обечайки, исчерпавшие проектный ресурс, установка рассекателя
26	Язвенная коррозия глубиной до 1...2 мм Коррозионные раковины в сварных соединениях люков-лазов с соответствующими обечайками В кольцевом сварном соединении нижнего днища с обечайкой: трещиноподобный дефект длиной до 100 мм; глубиной до 4мм, скопления мелких пор, местами подрезы	—

Таблица 5. Химический состав основного металла и сварного шва объекта № 6, мас. доля %

Проба	C	Si	Mn	Ni	Cu	Cr	Mo	V	Al	Ti	S	P	As
Основной металл	0,182	0,190	0,45	0,05	0,05	0,05	<0,03	<0,02	<0,005	—	0,017	0,022	0,004
Сварной шов	0,144	0,322	0,93	0,46	0,13	0,08	0,16	<0,02	0,0076	0,00	0,016	0,036	0,005

Таблица 6. Массовая доля элементов (%) в проволоке Св-08ГА по ГОСТ 2246-70

C	Si	Mn	Ni	Cr	Al	S	P
<0,10	<0,03	0,80...1,10	<0,25	<0,10	—	<0,025	<0,30

Таблица 7. Фазовый состав крупных вытянутых включений твердостью HV0,01 – 515

Соединение	SiO ₂	Al ₂ O ₃	MnO	CaO	TiO
Содержание, %	46,4...47,6	21,0...22,0	20,5...22,5	8,5...9,0	0,65...0,80

Таблица 8. Металлофизические свойства обнаруженных соединений [11]

Химическая формула и название включения	Кристаллическая система	Вид и форма	Расположение	Пластичность	Твердость HV	Оптические свойства в светлом поле (цвет)
SiO ₂ двуокись кремния (кварц)	α-Гексагональная β-Тригональная	Крупные зерна неправильной формы	Случайное, в виде отдельных скоплений	Не деформируются	Высокая, ~1000	Темно серый до черного
α-Al ₂ O ₃ окись алюминия (корунд)	Гексагональная	Мелкие зерна неправильной формы; крупные правильно образованные кристалллы	Группами, скоплениями; после деформации строчками	Выкрашиваются, оставляя «хвосты»	Очень высокая, >1500	Темно серый, до черного (с фиолетовым оттенком)
MnO закись марганца (магнезит)	Кубическая	Кристаллы неправильной формы, иногда дендритного строения	Группами, после деформации слегка вытягиваются	Слабо деформируются	280	Темно серый; в тонких слоях заметны внутренние отсветы
TiO моноокись титана	Кубическая	Мелкие идиоморфные кристаллки	—	—	Высокая	Темно серый, до черного

ронесплошности, которые в течение длительного периода времени за счет воздействия рабочей среды на внутреннюю поверхность корпуса развиваются в микротрещины.

Относительно содержания водорода в металле и оценки его распределения по толщине стенки абсорбера можно отметить следующее. Значения, полученные методом вакуумного плавления (2,2...3,7 ppm), почти в четыре раза превышают значения, полученные методом лазерного спектрального анализа с чувствительностью по водороду



ТЕХНИЧЕСКАЯ ДИАГНОСТИКА

Таблица 9. Объемная доля неметаллических включений в различных сечениях толщины стенки корпуса, %

Сечение	Основной металл	Сварной шов
У внутренней поверхности	0,640	0,403
На середине толщины	0,765	0,447
У наружной поверхности	0,673	0,491

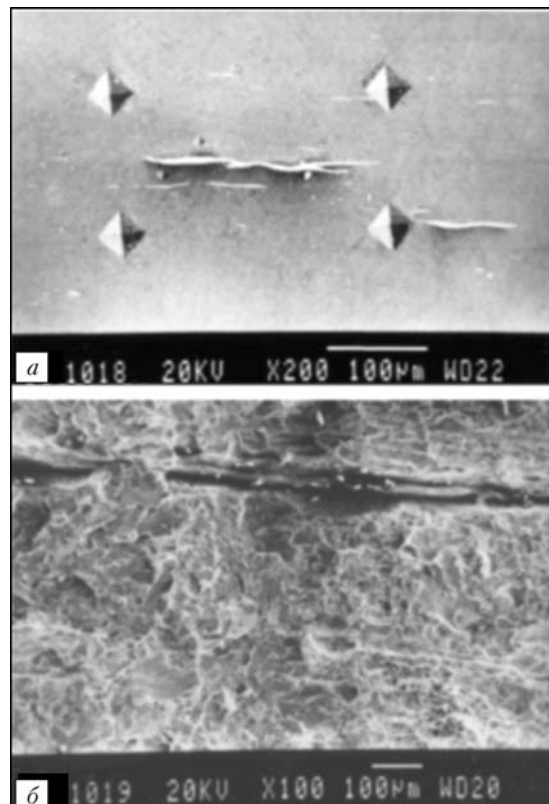
Таблица 10. Распределение водорода в металле по толщине стенки корпуса абсорбера

Расстояние от наружной до внутренней поверхности	Содержание, ppm ($1,12 \cdot 10^{-7}$ мас. %)
0,0	0,62
1,5	0,73
3,0	0,73
5,0	0,80
7,0	0,73
9,0	0,83
9,8	0,77

$1 \cdot 10^{-7}$ мас. дол. %. Локальное распределение по толщине стенки практически остается на одном уровне и не превышает 0,83 ppm со стороны внутренней поверхности на расстоянии порядка 2,5 мм от ее края (табл. 10). Это противоречие можно объяснить тем обстоятельством, что основное содержание водорода в данном случае связано с крупными «ловушками».

Таким образом, с течением времени развитие микротрещин в процессе эксплуатации приобрело более обширный характер и охватило всю толщину стенки корпуса, особенно в районе ввода раствора МЭА (табл. 4). Объединение обособленных несплошностей в слои в сочетании с наличием объемных дефектов свидетельствует о том, что существенную роль в коррозионных процессах играет структура металла. Так, в поврежденном металле демонтированных обечаек абсорбера обнаружены крупные вытянутые частицы поликсидов, обладающие высокой твердостью по сравнению с углеродистой сталью 20К. Межфазная поверхность между такой частицей и матрицей является удобной «ловушкой» для атомов и мелких молекул, которые в процессе эксплуатации скапливаются в крупные молекулы газа, оказывающие давление на стенки полости. Вероятно, что в результате правильно подобранных режимов нагрева и охлаждения могла бы произойти благоприятная структурная перестройка, однако исследуемый объект термообработан не был, хотя в соответствии с рекомендациями [5, табл. 11] аппарат после сварки подлежит термической обработке.

Кроме того, при монтаже объекта в месте ввода раствора МЭА с внутренней стороны колонны не были установлены предусмотренные проектом расекатели, предназначенные для уменьшения воз-



*Рис. 3. Крупные включения в корпусе абсорбера из стали 20К:
а — поверхность шлифа; б — поверхность излома*

действия струи продукта на стенки корпуса, что и послужило ускорению процессов накопления внутренних дефектов именно на этом участке.

- Фолиянц А. Е. Применение опыта ОАО «ВНИКТИнефтехимоборудование» по повышению надежности, качества и безопасности оборудования ОАО «ВНИКТИнефтехимоборудование». — Волгоград., www.alf-center.com
- Поставки и переработка нефти на НПЗ / ИАЦ. — Энергобизнес, 5 августа 2002 г. — www. energobusiness.kiev.ua/news/Postaky_y_pere.html
- Поставка и переработка нефти на НПЗ / ИАЦ. — Там же, 8 ноября 2003 г. — www. e-b.com.ua/news/04-11-2003-00-00/Postaky_y_pere.html
- Перри Дж. Справочник инженера-химика. Т. 1 / ОНТИ. Главн. ред. хим. литературы. — М: 1937. — С. 624–630.
- Коррозия и защита химической аппаратуры / Справ. руково. Т. 9. Нефтеперерабатывающая и нефтехимическая промышленность. — Химия. Ленинградское отд., 1974. — С. 211–225.
- Леффлер У. Л. Переработка нефти. — М.: ЗАО «ОЛИМП-БИЗНЕС», 2004. — 223 с.
- Некоторые результаты технической диагностики сосудов и трубопроводов в нефтехимической промышленности / В. С. Гиренко, М. Д. Рабкина, В. П. Дядин и др. // Техн. диагностика и неразруш. контроль. — 1998. — № 3. — С. 17–24.
- Шпарбер И. С., Шрейдер А. В. Защита металлов. — 1969. — 5, № 6. — С. 618.
- Шрейдер А. В., Шпарбер И. С. Борьба с водородным разрушением оборудования нефтезаводов в сероводородных средах // ЦНИИТЭНефтехим. — 1968. — С. 420.
- Термодинамические свойства индивидуальных веществ / Справ. изд. в 4-х т. Т. 1. Книга 1 // М.: НАУКА, 1978. — С. 238–278.
- Гольдшмидт Х. Дж. Сплавы внедрения // М.: Мир, 1971. — Вып. 2.